

Modélisation et maillage d'un parapente en vol



Bertrand DENEL
Patrick FOURCADE
Sous la direction de P. PUISEUX

SOMMAIRE

I. Introduction : qu'est-ce qu'un parapente ?	3
A. Bref historique	3
B. Schémas et vocabulaire	4
II. Le projet global	6
III. Les programmes Corde et Infierno	8
A. Structure de données et concepts utilisés	8
B. Corde	8
1. But	8
2. La structure d'un fichier en-tête	9
3. Les lois utilisées	10
a. Inter-nervure	10
b. Rayon de déploiement en envergure.....	10
4. La structure d'un fichier .in.....	11
5. Syntaxe d'appel	12
C. Le programme Infierno	13
1. But	13
2. Méthode de déploiement.....	13
3. Les formats de sortie et leur utilisation	15
a. Le format CMARC.....	15
b. Les formats de visualisation pour le parapente	20
i. Le format GNUPLOT	20
ii. Le format DXF	21
iii. Le format PLOTMTV	21
iv. Le format MATLAB	22
c. Les informations complémentaires	25
i. La sortie CELLULE.....	25
ii. La sortie POINT_R	27
iii. La sortie SUSPENTE	29
4. La syntaxe d'appel.....	30
IV. Utilisations possibles avec CMARC et Hippolyte	31
V. Conclusion	35
Annexes	36
a. Le programme de visualisation MATLAB	36
b. Syntaxe d'appel de mtb2obj_full.....	37
Bibliographie et sites WEB	38

I. INTRODUCTION : QU'EST-CE QU'UN PARAPENTE ?

A. BREF HISTORIQUE

Le parapente est né dans les années 70, dans la tête puis dans les jambes de deux parachutistes adeptes de l'atterrissage de précision, Jean-Claude Bétemps et Gérard Bosson.

A la recherche d'une méthode d'entraînement bon marché, ils sont les premiers à avoir eu l'idée d'utiliser leurs parachutes pour décoller d'une pente suffisante.



Premier décollage sur les pentes du Pertuiset

Depuis le Pertuiset à Mieussy, lieu des premières expérimentations, le parapente va rapidement envahir la planète entière et conquérir les sommets les plus prestigieux : le Mont Blanc, l'Aconcagua (plus haut sommet du continent Américain , presque 7000 m), le Gasherbrum et l'Everest (sommets himalayens dépassant les 8000 m) pour ne citer qu'eux.



11 juillet 1985, Pierre Gevaux décolle du Gasherbrum II

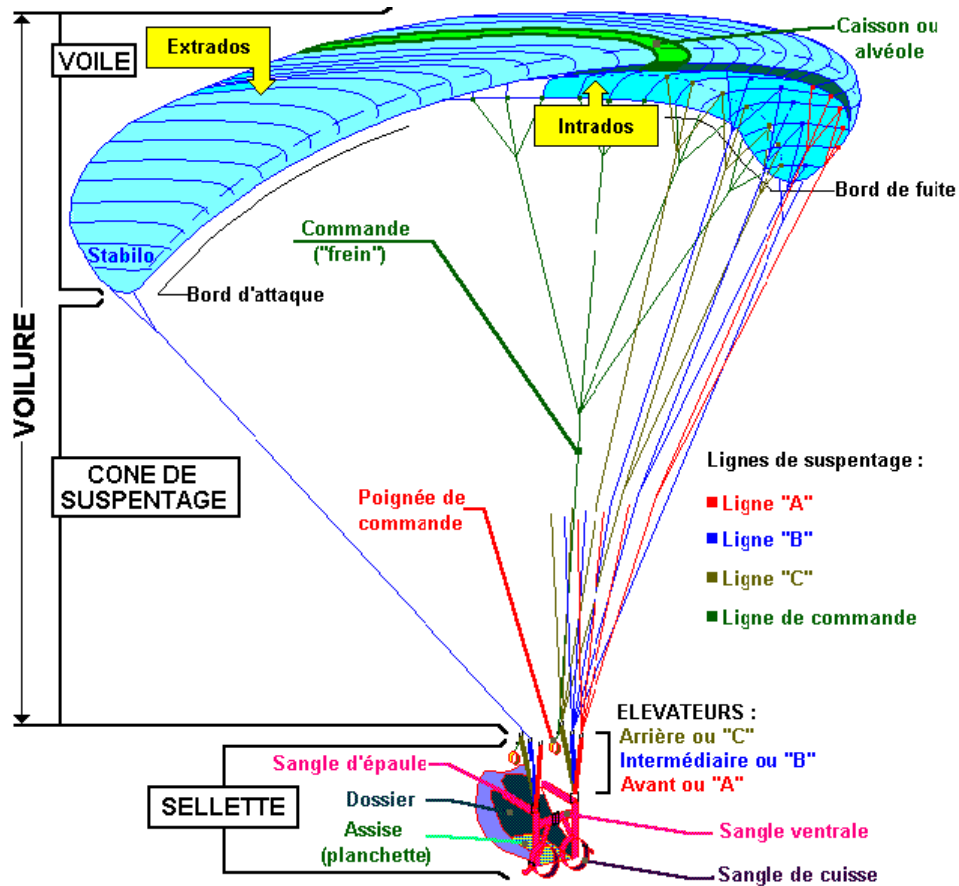
Il faut dire que le parapente est à ce jour le sport aérien le plus accessible, vu sa facilité d'apprentissage et la simplicité du matériel utilisé. Le parapente est en effet un aéronef de quelques kilogrammes qui se plie au fond d'un sac à dos et qui décolle en quelques mètres sur n'importe quel petit bout de pente.

Cependant, il ne faut pas oublier que derrière cette facilité apparente se cachent des problèmes bien plus complexes liés à l'aérodynamique, la météorologie et la mécanique des fluides.

Aussi il n' est pas étonnant que quelques adeptes de ce nouveau sport aient rapidement essayé de mettre le vol en équations afin d' améliorer les ailes et de prolonger la durée des vols. Les constructeurs ont alors commencé à comprendre la mécanique du vol et ont fait évoluer leurs voiles vers plus de performances.

B. SCHEMAS ET VOCABULAIRE

Afin de mieux comprendre ce qui suit, il paraît indispensable d'introduire dès à présent un certain nombre de notions et de termes techniques relatifs au parapente.

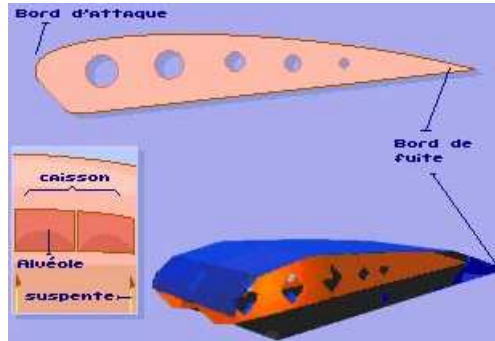


Comme on le voit sur le schéma, un parapente est constitué d'une *voile* et d'un *cône de suspension*.

▪ La voile

Les deux pièces principales de la voile sont *l'extrados* - la partie supérieure du profil - et *l'intrados* - la partie inférieure. Elles sont reliées entre elles par des pièces de tissu verticales qui donnent à la voile la forme de son profil : ce sont les *nervures*.

Une partie de la voile délimitée par deux nervures, l' *intrados* et l' *extrados* s' appelle *caisson* ou *cellule*.

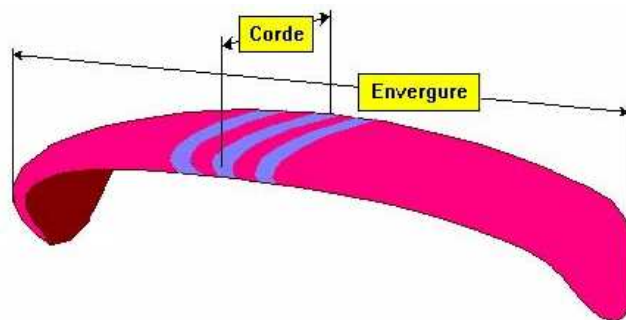


L' avant de la voile se nomme *le bord d'attaque*. L' arrière de la voile se nomme *le bord de fuite*. De chaque côté de l' aile, on trouve *lestabilisateurs* chargés de réduire la traînée.

Au bord d' *attaque* sont placées des *ouvertures* permettant aux caissons de se gonfler et de former le profil de la voile l' autorisant à s' *envoler*.

La distance entre le bord d'attaque et le bord de fuite est appelée *corde*. Elle n'est pas constante sur toutes les nervures, entre le centre et les bouts d'aile.

L' *envergure* est la distance maximale entre le centre et les bouts d'aile. Il y a en fait plusieurs façons de mesurer l' *envergure* : à plat, voile étalée sur le sol (on peut d' ailleurs de cette manière la mesurer soit à l' *extrados*, soit à l' *intrados*, soit à la corde du profil) ou en projeté, avec la voile gonflée normalement.



Par ailleurs, les cordes des différentes nervures ne sont pas dans un même plan. Chacune d'elle possède un degré de rotation autour du *point de référence*. L'angle de cette rotation est appelé *vrillage*.

Enfin, les nervures ne sont pas alignées entre elles : seuls les *points de référence* le sont. Ces points sont situés à un pourcentage fixe de corde nommé *insertion*. Par exemple, une insertion de 0% aligne tous les bords d'attaque alors que pour 100% ce sont les bords de fuite qui sont alignés.

▪ Le cône de suspentage

Comme son nom l'indique, il regroupe l'ensemble des *lignes de suspentage* ou *suspentes* qui relie la voile au pilote. Les suspentes sont regroupées au niveau de deux *maillons* séparés d'une distance nommée *écart*.

II. LE PROJET GLOBAL

Aujourd' hui, la simulation numérique de phénomènes physiques a pris une place prépondérante dans la plupart des grandes entreprises des secteurs primaire et secondaire (aéronautique, pétrole, automobile, chimie, travaux publics...) où les décisions importantes sont de plus en plus subordonnées à des résultats de modélisation.

La conception de parapentes ne déroge pas à cette règle.

Ainsi, notre projet de maîtrise, proposé et encadré par P. Puiseux, s'insère dans une chaîne visant à simuler numériquement un parapente en vol.

Le programme de simulation 3D existe déjà : il s'agit d'une soufflerie numérique développée par la NASA et nommée CMARC.

De plus, une interface post-soufflerie facilitant l'interprétation des résultats obtenus a été développée sous le nom d'*Hipollyte* par Jérôme Sarthe (DESS Université de Savoie 1999).

Notre travail consiste donc à générer le maillage d'un parapente complet à partir d'une description géométrique plus ou moins détaillée.

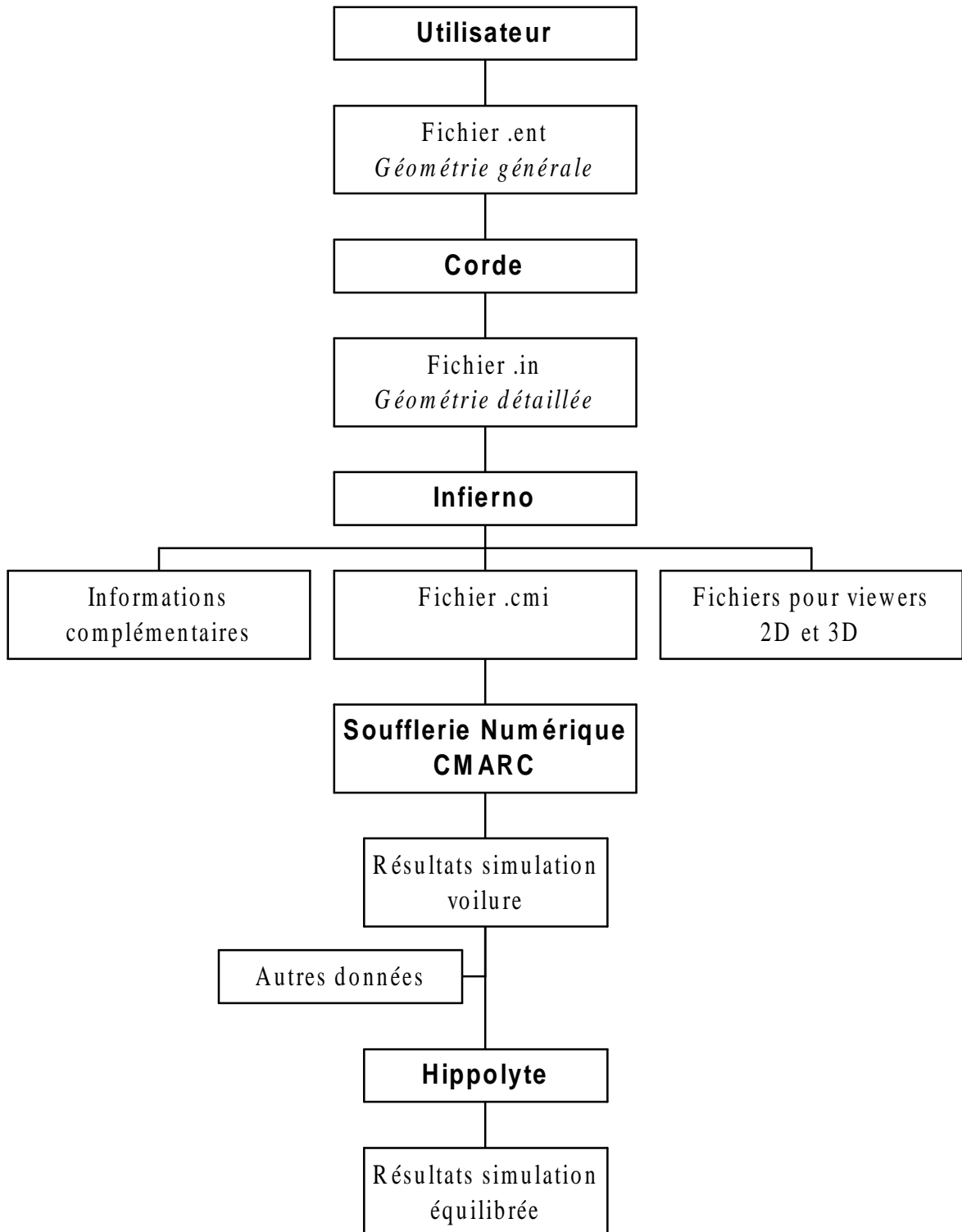
Le maillage ainsi obtenu doit répondre à deux critères :

- être utilisable par la soufflerie numérique CMARC
- permettre d'obtenir, sans trop d'efforts, une représentation graphique du parapente bâti.

Pour résoudre ce problème, nous avons développé, à partir d'un code Pascal et de quelques objets C++ existants, deux programmes :

- **Corde** qui génère une description détaillée du parapente à partir de caractéristiques géométriques générales de celui-ci.
- **Infierno** qui réalise le maillage du parapente à partir du fichier généré par Corde et qui propose des sorties au format interprétable tant par CMARC que par des « viewers » 3D.

Ces programmes ont été réalisés en C++ (sous Linux) afin de bénéficier des avantages d'un langage orienté objet. Nous pensons en particulier à la possibilité de faire facilement évoluer les objets vers d'autres plus complets et plus réalistes.



Modélisation numérique d'un parapente

III. LES PROGRAMMES CORDE ET INFIERNO

A. STRUCTURE DE DONNEES ET CONCEPTS UTILISES

La structure de données utilisée dans la première version du programme en Pascal Objet nous a semblée assez naturelle et cohérente : nous nous en sommes donc servi comme base.

Nous avons cependant été amenés à compléter ces objets (notamment la classe `Point3D`), à modifier certaines de leurs méthodes comme celle du placement des nervures qui est inédite, et à en développer de nouveaux comme la classe `Cellule` afin de modéliser plus précisément le parapente.

Ainsi, la structure que nous avons retenue est la suivante :

- On considère qu'un parapente est un ensemble de nervures et de cellules
- Une nervure, en plus de ses caractéristiques propres, est associée à un certain profil géométrique. Une cellule est quant à elle parfaitement définie à partir des deux nervures qui la délimitent.
- Un profil est un polygone « lissé » de façon à améliorer ses caractéristiques aérodynamiques.
- Un polygone est un ensemble de points 2D.

Chaque objet utilisé par Infierno a été développé dans le souci d'être facilement réutilisé et complété lors de développements ultérieurs.

Pour de plus amples informations sur les données, nous avons généré une documentation hypertexte détaillée de Infierno à l'aide de l'utilitaire DOXYGEN.

On y trouvera le nécessaire pour comprendre et dériver Infierno.

B. CORDE

1. But

Ce programme sert d'interface entre l'utilisateur et Infierno. En effet, il permet à l'utilisateur de créer un fichier `.in` à partir de quelques caractéristiques techniques du parapente souhaité.

Le fichier `.in` généré pourra être modifié à la main par l'utilisateur, notamment pour certains paramètres automatisés comme `décalBA_`.

Deux modes de fonctionnement sont possibles avec ce programme : le premier que nous nommerons « light » et le second « détaillé ».

En effet, le premier est destiné à un appel dit « inline » : l'ensemble des paramètres qu'entrerait l'utilisateur au clavier est contenu dans un fichier en-tête (extension `ent`). Quant au second mode de fonctionnement, il demande à l'utilisateur de rentrer successivement chacun de ces paramètres. A la fin de cette saisie, il est proposé de sauver la configuration dans un fichier en-tête, de façon à accélérer la prochaine saisie.

2. La structure d'un fichier en-tête

Comme énoncé ci-dessus, le fichier en-tête regroupe diverses caractéristiques du parapente. Ce paragraphe détaille donc la structure des fichiers .ent et le manuel d'utilisation de Corde.

Dans l'ordre de saisie, ces paramètres sont :

- Echelle de l'étude
- Demi-envergure (en mm)
- Corde en centre d'aile (en mm)
- Nombre de nervures par demi-aile. Un nombre maximum est fixé dans constantes.h. Au-delà de celui-ci, le programme stoppe.
- Coefficient de la progression géométrique inter-nervure (cf III.B.3.a page 10)
- Demi-écart (en mm)
- Suspentage (en mm) : il s'agit, en fait, de la distance entre l'origine et le point de référence de la nervure centrale. Il y a donc une légère différence avec la définition théorique.
- Coefficient de la progression géométrique du rayon de courbure (cf III.B.3.b page 10)
- Insertion (en % de corde)
- Ouverture avant (en % de corde)
- Ouverture arrière (en % de corde)
- Vrillage min et max
- Nombre de rangs de suspentes par nervure
- Emplacement des points d'ancrage de ces suspentes (en % corde)

Exemple de fichier .ent :

```
#Echelle_de_l'etude
0.5
#Demi_envergure_(en_mm)
6000
#Corde_en_centre_d'aile_(en_mm)
3000
#Nombre_de_nervures_par_demi-aile
20
#Coef_prog_geometrique_distance_inter_nervure
0.99
#Demi-ecart_(en_mm)
200
#Suspentage_(en_mm)
7500
#Coef_prog_geometrique_rayon
0.97
#Insertion_(en_%_de_corde)
50
#Ouverture_avant_(en_%_de_corde)
4
#Ouverture_arriere_(en_%_de_corde)
12
#Vrillage_Min,_Max
0 4
#Nombre_de_rangs_de_suspentes
4
#Emplacement
4 20 35 70
```

3. Les lois utilisées

a. Inter-nervure

Il paraît naturel que les nervures ne soient pas réparties uniformément : les nervures en bout d'aile sont plus resserrées que les nervures centrales. C'est sur cette constatation que nous avons arbitrairement choisi des écarts inter-nervure en progression géométrique. La première nervure est placée à la verticale de l'origine et la dernière à une distance de $demi_env_$ de celle-ci.

Connaissant le nombre de nervures intermédiaires, il vient la loi suivante :

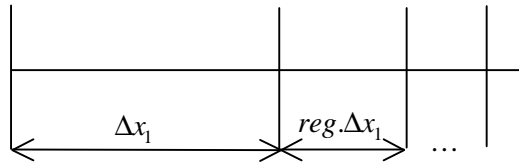
$$demi_env_ = \sum_{i=0}^{n-1} \Delta x_i = 0 + reg.\Delta x_1 + reg^2.\Delta x_1 + \dots + reg^{n-1}.\Delta x_1 = \Delta x_1 (1 + reg + \dots + reg^{n-1}) = \Delta x_1 \frac{1 - reg^n}{1 - reg}$$

On a donc :

$$\Delta x_1 = demi_env_ \cdot \frac{1 - reg}{1 - reg^n} \text{ où } \Delta x_1 \text{ est la distance entre les deux premières nervures.}$$

Les largeurs inter-nervure sont alors données par la loi :

$$largeur_k = reg^{k-1}.\Delta x_1 \text{ où } largeur_k \text{ est la distance entre } nervure_{k-1} \text{ et } nervure_k$$



b. Rayon de déploiement en envergure

Pour la nervure i , le rayon est donné par :

$$rayon_ = (reg_2)^i \cdot suspentage_$$

Pour une description plus détaillée de l'utilisation de ce rayon, se référer à III.C.2 page 13.

4. La structure d'un fichier .in

Le fichier .in suivant a été généré à partir du fichier .ent du paragraphe III.B.2 :

```
#Fichier_.IN_pour_programme_INFIERNO
#=====
#Demi_envergure_(en_mm)
3000
#Corde_en_centre_d'aile_(en_mm)
1500
#Nombre_de_nervures_par_demi-aile
20
#Demi-ecart_(en_mm)
100
#Suspentage_(en_mm)
3750
#Insertion_(en_%_de_corde)
50
#Ouverture_avant_(en_%_de_corde)
4
#Ouverture_arriere_(en_%_de_corde)
12
#Vrillage_Min,_Max
0      4
#Nombre_de_rangs_de_suspentes
4
#Emplacement
4      20      35      70
#Nervure_Nø0
#Fichier,_Corde,_Largeur,_DecalBA,_Vrillage,_OuvEx.x,_OuvIn.x,_Rayon
milieu.lis      1500      0      0      0      60      180      3750
#Nombre_de_rangs_de_susp_et_valeurs
4
60      300      525      1050
#Nervure_Nø1
#Fichier,_Corde,_Largeur,_DecalBA,_Vrillage,_OuvEx.x,_OuvIn.x,_Rayon
palas.lis      1498.12      164.751      0      0.210526      59.925      179.775      3637.5
#Nombre_de_rangs_de_susp_et_valeurs
4
59.925      299.625      524.343      1048.69
#Nervure_Nø2
#Fichier,_Corde,_Largeur,_DecalBA,_Vrillage,_OuvEx.x,_OuvIn.x,_Rayon
milieu.lis      1492.48      163.103      0      0.421053      59.6992      179.098      3528.38
#Nombre_de_rangs_de_susp_et_valeurs
4
59.6992      298.496      522.368      1044.74
...
```

On remarque que l'en-tête reprend dans l'ensemble les informations du fichier .ent. Il manque cependant le facteur d'échelle qui a été appliqué aux données. Suit alors une description des paramètres propres à chaque nervure. On constate par exemple que les profils utilisés peuvent varier selon les nervures. L'utilisateur est alors libre de modifier à la main ces paramètres.

5. Syntaxe d'appel

Lors de son exécution, Corde propose de choisir entre un mode mono-profil et un mode poly-profil. Si l'utilisateur choisit le mode mono-profil, il donne le nom du profil utilisé pour toutes les nervures. Pour l'autre mode, il doit entrer pour chaque nervure le profil correspondant.

La syntaxe générale d'appel du programme Corde est de la forme :

```
Corde [-i fic_ent] -o fic_out [-p profil]
```

Détail des options :

- i** Fichier ENTETE
Cette option permet d'accélérer la saisie des paramètres de Corde : les caractéristiques générales du parapente sont contenues dans ce fichier.
- o** Fichier ENTREE
Cette option est indispensable et indique à Corde le nom de la description détaillée du parapente à générer.
- p** Fichier PROFIL utilisé
Cette option active automatiquement le mode mono-profil ; toutes les nervures auront le même profil.

En cas de problèmes, une aide est proposée par la commande : **Corde -h**

Par ailleurs, les extensions des fichiers sont indiquées dans le fichier `constantes.h`.

Ainsi, les extensions actuelles sont :

Informations	Extensions
ENTETE	.ent
ENTREE	.in
PROFIL	.lis

C. LE PROGRAMME INFIERNO

1. But

Ce programme occupe une place essentielle dans la chaîne précédemment présentée.

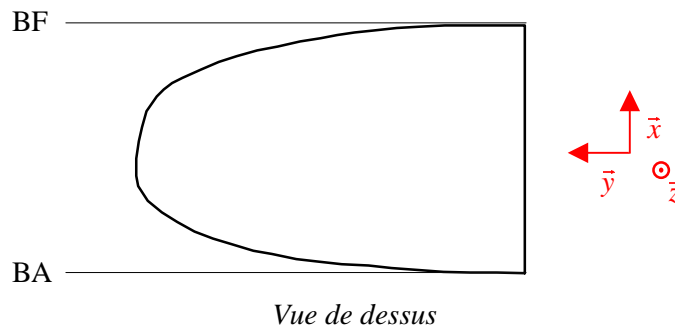
En effet, à partir de la description nervure par nervure d'un demi-parapente, il en génère un maillage complet. Ce maillage permet ensuite de plonger le demi-parapente obtenu dans une soufflerie numérique ou bien de le visualiser sous différents formats.

En plus de ce maillage, Infierno permet d'obtenir des informations sur les cellules du parapente ainsi que sur ses points caractéristiques.

2. Méthode de déploiement

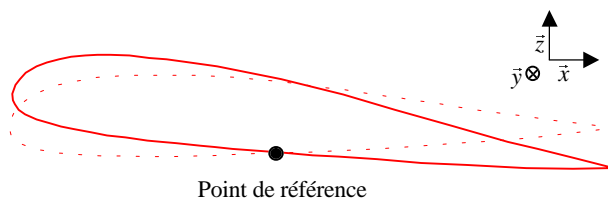
Afin d'obtenir le maillage d'un parapente qui soit le plus réaliste possible, on monte le parapente nervure par nervure.

On choisit d'orienter le repère comme indiqué sur le schéma suivant :



Pour monter le parapente, on applique le schéma suivant :

- On commence par placer le maillon au point de coordonnées $(0, demi_ecart_ , 0)$.
- On superpose ensuite les points de référence de toutes les nervures à l'origine.
- On élève alors verticalement les nervures de façon à placer les points de référence en $(0, 0, suspentage_)$.
- On applique le vrillage à toutes les nervures.
Cela consiste à calculer l'image de chaque nervure par la rotation ayant pour centre le point de référence, d'axe (Oy) et d'angle celui indiqué par la variable $vrillage_$.



- On déploie ensuite les nervures en envergure, c'est-à-dire que l'on applique aux nervures des rotations successives d'axe (Ox) mais d'angle et de centre à définir.
La nervure 0 n'est pas déployée car il s'agit de la nervure centrale par convention.

Déployons la première nervure.

Le centre de la rotation est l'origine du repère.

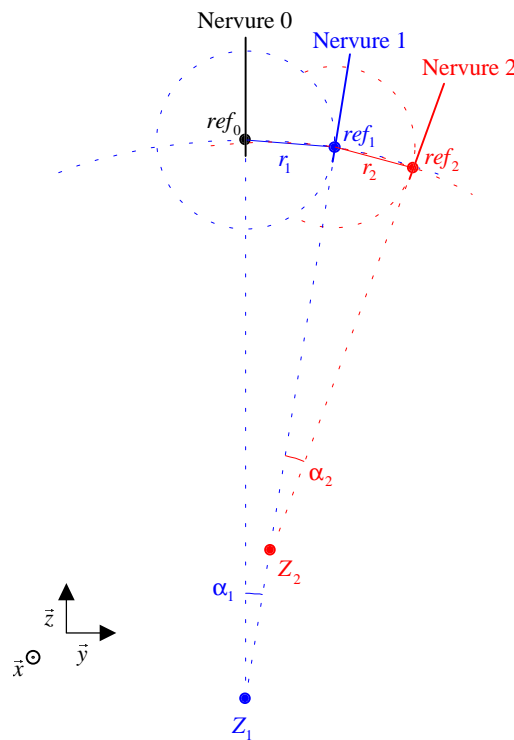
Afin de déterminer l'angle de la rotation, on commence par placer le point de référence de la nervure 1 : il appartient aux cercles $C(ref_0, r_1)$ et $C(Z_1, R_0)$.

On a deux possibilités : on choisit le point d'intersection qui nous permet de déployer le parapente dans le sens qui nous intéresse.

Le calcul des coordonnées cartésiennes de cette intersection est réalisé par la méthode `Intersection` de la classe `Parapente`. Cette fonction utilise les formules obtenues symboliquement à l'aide de MAPLE.

Une fois le triangle (Z_1, ref_0, ref_1) mis en place, on calcule à l'aide de la formule d'Al Kashi l'angle α_1 de la rotation :

$$\cos \alpha_1 = \frac{d(ref_0, ref_1)^2 - d(ref_0, Z_1)^2 - d(ref_1, Z_1)^2}{2 \times d(ref_0, Z_1) \times d(ref_1, Z_1)}$$



Déployons la deuxième nervure.

On a besoin, comme précédemment, de déterminer le centre et l'angle de la rotation.

On note Z_2 le centre de la rotation : ce point appartient à la droite (Z_1, ref_1) et sa distance par rapport à ref_1 est donnée par la valeur du champ `rayon_` de la nervure 1.

On calcule l'angle α_2 de la même manière que α_1 , c'est-à-dire en calculant ref_2 comme point d'intersection des cercles $C(ref_1, r_2)$ et $C(Z_2, R_1)$, puis en utilisant la formule d'Al Kashi.

Il en va de même pour le déploiement des nervures restantes.

- On applique enfin le décalage des bords d'attaque qui consiste en une translation de chaque nervure par le vecteur de composantes $(decalBA_, 0, 0)$ où `decalBA_` est propre à chaque nervure.

3. Les formats de sortie et leur utilisation

a. Le format CMARC

Inferno peut générer un fichier de sortie au format CMARC qui est alors utilisable par la soufflerie numérique CMARC développée par Aerologic.

Ces fichiers sont constitués d'un en-tête initialisant un certain nombre de paramètres, d'une description des nervures (les sections) et se terminent par d'autres paramètres indiquant notamment les lignes de courant.

Pour plus d'informations, on pourra se reporter à la documentation disponible sur le site WEB d'Aerologic.

▪ L'en-tête

De manière générale, il est de la forme :

```
Application Simul3D : Fichier d'entree pour CMARC
&BINP2  LSTINP=2,      LSTOUT=1,      LSTFRQ=0,      LENRUN=0,      LPLTYP=1,      &END
&BINP3  LSTGEO=2,      LSTNAB=0,      LSTWAK=0,      LSTCPV=0,      &END
&BINP4  MAXIT=250,    SOLRES=0.0005,      &END
&BINP5  NTSTPS=3,     DTSTEP=30,      &END
&BINP6  RSYM=0.0,     RGPR=0.0,      RFF=5.0,      RCORES=0.050,  RCOREW=0.050, &END
&BINP7  VINF=10,     VSOUND=300,      &END
&BINP8  ALDEG=0,     YAWDEG=0,     PHIDOT=0,     THEDOT=0,     PSIDOT=0,      &END
&BINP8A PHIMAX=0.0,     THEMAX=0.0,     PSIMAX=0.0,      &END
&BINP8B WRX=0.0,      WRY=0.0,      WRZ=0.0,      &END
&BINP8B DXMAX=0.0,     DYMAX=0.0,     DZMAX=0.0,      &END
&BINP8B WTX=0.0,     WTY=0.0,     WTZ=0.000,      &END
&BINP9  CBAR=3,      SREF=28.7485,   SSPAN=6,      &END
&BINP9  RMPX=-1.5,    RMPY=0,      RMPZ=7.6008,    &END
&BINP10 NORSET=0,     NBCHGE=0,     NCZONE=0,      &END
&BINP10 NCZPCH=0,    CZDUB=0.0,     VREF=0.0,      &END
&BINP11 NORPCH=0,    NORF=0,      NORL=0,      &END
&BINP11 NOCF=0,     NOCL=0,     VNORM=0.0,      &END
&BINP12 KPAN=0,     KSIDE=0,     NEWSID=0,      &END
&BINP13 NBLIT = 1,      &END
&ASEM1  ASEMXX= 0.0000, ASEMYY= 0.0000, ASEMZZ= 0.0000,
&ASEM1  ASCAL= 1.0000, ATHET= 0.0,     NODEA= 5,      &END
&COMP1  COMPX= 0.0000, COMPY= 0.0000, COMPZ= 0.0000,
&COMP1  CSCAL= 1.0000, CTHET= 0.0,     NODEC= 5,      &END
```

Dans cet en-tête, seuls les champs de BINP9 sont spécifiques à chaque parapente, les autres champs sont prédéfinis et communs à tous les parapentes.

Valeurs et descriptions des paramètres retenus pour configurer la soufflerie numérique :

BINP2 : Output instructions

LSTINP	2	Print all input data
LSTOUT	1	Set additional output data print options below
LSTFREQ	0	Detailed panel data on last step, other data at each step
LENRUN	0	Complete run scope
LPLTYP	1	Formatted ASCII plot file

BINP3 : Print options

LSTGEO	2	Print all panel corners and unit normal vectors
LSTNAB	0	Panel neighbor information printout is off
LSTWAK	0	Wake data printout options is off
LSTCPV	0	Panel corner point analysis printout is off

BINP4 : Solver parameters

MAXIT	250	Limit on number of solver iterations
SOLRES	0.005	Convergence criteria for the matrix solver

BINP5 : Time step parameters

NTSTPS	3	Number of wake time-steps
DTSTEP	30	Size of the time-step (seconds)

BINP6 : Symetry and computation parameters

RSYM	0.0	Symetrical case about Y=0
RGPR	0.0	No ground plane modeled at Z=0
RFF	5.0	Far-field-factor
RCORES	0.05	Surface panel core radius
RCOREW	0.05	Wake panel core radius

BINP7 : Free stream conditions

VINF	10	Dimensional free stream velocity
VSOUND	300	Dimensional speed of sound

BINP8 : Angular position and rotation rates

ALDEG	0	Angle of attack in degrees
YAWDEG	0	Yaw angle in degrees
PHIDOT THEDOT PSIDOT	0	Rotation rate about global X, Y and Z axis (deg/sec)

BINP8A : Rotational oscillatory motion amplitudes and frequencies

PHIMAX THEMAY PSIMAX	0.0	Amplitude of oscil. rot. about X, Y and Z axis
WRX WRY WRZ	0.0	Frequency of oscil. rot. about X, Y and Z axis

BINP8B : Translational oscillatory motion aplitudes and frequencies

DXMAX DYMAX DZMAX	0.0	Amp. of oscil. translation about X, Y and Z axis
WTX WTY WTZ	0.0	Freq. of oscil. translation about X, Y and Z axis

BINP9 : Reference dimensions

CBAR	Reference chord used for normalizuing pitching moment
SREF	Reference area for force and moment coefficient
SSPAN	Semispan used for normalizing rolling and yawing moments
RMPX RMPY RMPZ	Coordinates of the moment reference point

Ainsi pour chaque parapente, on a :

CBAR	Valeur de la corde de la nervure centrale
SREF	Surface à plat du parapente ($2 \times \text{demi_surface_}$)
SSPAN	Demi-envergure du parapente (demi_env_)
RPM	Coordonnées du BA de la nervure centrale

BINP10 : Special options

NORSET	0	The number of groups of panels on which nonzero normal velocities are to prescribed
NBCHGE	0	The number of panel neighbor information changes that are to be made
NCZONE	0	Regular external flow problem
NCZPCH	0	Patch number of the patch on which the value is specified for internal flow modeling
CZDUB	0.0	The value that is set on panel NCZPCH for internal flow modeling
VREF	0.0	VINF is used to compute Cp

BINP11 : Normal velocity specification

NORPCH	0	Patch number of patch containing the group of panels to receive a prescribed normal velocity
NORF	0	All rows on this patch
NOCF	0	All columns on the patch
VNORM	0.0	Specified normal velocity for the set of panels identified above

BINP12 : Panel neighbor information change

KPAN	0	Panel number
KSIDE	0	Side of the panel requiring a modified neighbor
NEWNAB	0	New neighbor
NEWSID	0	Side of that neighbor adjacent to KSIDE of KSPAN

BINP13 : Boundary layer calculation control

NBLIT	1	Boundary layer computations performed on specified onbody streamlines
-------	---	---

ASEM1 : Assembly coordinate system information

ASEMX	ASEMY	ASEMZ	(0, 0, 0)	Origin of assembly coordinate system
ASCAL	1.0			Assembly scale
ATHET	0			Rotation angle of the assembly coordinate system about the rotation axis
NODEA	5			No other coordinate system

COMP1 : Component coordinate system information

COMPX	COMPY	COMPZ	(0, 0, 0)	Origin of component coordinate system
CSCAL	1.0			Component scale
CTHET	0			Rotation angle of the component coordinate system about the rotation axis
NODEC	5			No other coordinate system

▪ **Le corps du fichier**

On rassemble dans PATCH1 les nervures constituant le parapente.

```
&PATCH1 IREV=0, IDPAT=1, MAKE=0, KCOMP=1, KASS=1, IPATSYM=0, IPATCOP=0, &END
Voile
```

Options retenues :

IREV	0	Patch not reversed
IDPAT	1	Wing type patch. Section force and moment data printed out
MAKE	0	Normal patch input
KCOMP	1	Number of component coordinate system
KASS	1	Number of assembly coordinate system
IPATSYM	0	No symmetrical patch is generated
IPATCOP	0	

On décrit alors les nervures une par une :

```
&SECT1 STX=0.0, STY=0.0, STZ=0.0, SCALE=1.0, ALF=0.0, THETA=0.0, INMODE=4,
      TNODS=0, TNPS=0, TINTS=0, &END
1.5 0 7.6008
1.494 0 7.60119
...
1.494 0 7.60181
1.5 0 7.6008
&BPNODE TNODE=3, TNPC=0, TINTC=0, &END
```

```

&SECT1 STX=0.0, STY=0.0, STZ=0.0, SCALE=1.0, ALF=0.0, THETA=0.0, INMODE=4,
      TNODS=0, TNPS=0, TINTS=0, &END
1.49848 0.333603 7.58784
1.49249 0.333621 7.58825
...

```

Toutes les nervures ont en commun les champs suivants :

SECT1 : Section coordinate system information

STX STY STZ	(0, 0, 0)	Origin of section coordinate system
SCALE	1.0	Section scale
ALF	0.0	Rotation angle of the section coordinate system about its Y axis
THETA	0.0	Rotation angle of the section coordinate system about its Z axis
INMODE	4	Input X, Y, Z coordinates to define
TNODS	0	First or intermediate section of patch
TNPS	0	No panel generated between this break point and the previous one
TINTS	0	Full cosine spacing of panels between this break point and the previous one

BPNODE : Break point input

TNODE	3	Final break point. End of this section definition
TNPC	0	No panel generated between this break point and the previous one
TINTC	0	Full cosine spacing of panels between this break point and the previous one

Seul le champ TNODS varie pour la dernière nervure : il vaut 3 et non 0, ce qui signifie que l'on termine la description de PATCH1.

La patch se termine par :

```

&PATCH1 IREV=0, IDPAT=1, MAKE=1, KCOMP=1, KASS=2, IPATSYM=0, IPATCOP=0, &END

```

La valeur de MAKE implique l'existence de PATCH2.

▪ La fin du fichier

On définit le PATCH2 qui correspond aux stabilos.

```

&PATCH2 ITYP=1, TNODS=5, TNPS=0, TINTS=0, &END
..Stabilo

```

Options retenues :

ITYP	1	Flat tip patch
TNODS	5	Last patch in the surface geometry input
TNPS	0	No panel generated across the open tip
TINTS	0	Full cosine spacing of panels across the open tip

Suit alors la description du bord de fuite :

```

&WAKE1 IDWAK=1, IFLXW=0, ITRFTZ=1, INTRW=1, &END
Bord de fuite

```

avec :

IDWAK	1	Regular wake
IFLXW	0	Flexible wake. Wake will be time-stepped with the local velocity
ITRFTZ	1	Wake separation line used for Trefftz plane computation of induce drag
INTRW	1	Intersection routine turned on

Puis les informations sur les séparations des WAKE :

```
&WAKE2  KWPACH=1,    KWSIDE=2,    KWLINE=0,    KWPAN1=0,
        KWPAN2=0,    NODEW=0,    INITIAL=0,
&WAKE2  KWPACH=2,    KWSIDE=1,    KWLINE=0,    KWPAN1=0,
        KWPAN2=0,    NODEW=5,    INITIAL=0,
```

avec :

KWPACH		Surface geometry patch number that this wake separates from
KWSIDE		Side of the patch which is parallel to separation line
KWLINE	0	Separation is from patch edge
KWPAN1	0	Defaults to the first panel on row or column
KWPAN2	0	Defaults to the last panel on row or column
NODEW		Indicates the next WAKE2
INITIAL	0	No initial wake geometry to be specified

On finit par les lignes de courant que l'on place arbitrairement toutes les trois nervures (à chaque fois, une ligne de courant sur l'intrados et une sur l'extrados) :

```
&ONSTRM  NONSL =12, KPSL = 20,60,260,300,500,540,740,780,980,1020,1220,1260  &END
&BLPARAM RN=2000000, VISC=0.000016, NSLBL=1,2,3,4,5,6,7,8,9,10,11,12  &END
```

Les valeurs des champs suivants varient selon chaque parapente :

ONSTRM :

NONSL		Number of on-body streamlines
KPSL		Surface panel number on which each streamline starts
KWLINE	0	Separation is from patch edge
KWPAN1	0	Defaults to the first panel on row or column
KWPAN2	0	Defaults to the last panel on row or column
NODEW		Indicates the next WAKE2
INITIAL	0	No initial wake geometry to be specified

BLPARAM : Namelist for boundary layer parameters (needed NBLIT=1 on &BINP13)

RN	2000000	Reynolds number
VISC	0.000016	Dimensional kinematic viscosity
NSLBL		Streamline numbers of streamlines on which boundary layer calculations are to be performed

On indique enfin que l'on ne considère pas de « off-body velocity scan input section » :

```
&VS1    NVOLR= 0,    NVOLC= 0,    &END
&SLIN1  NSTLIN=0,    &END
```

b. Les formats de visualisation pour le parapente

Afin d'avoir une idée de la forme du parapente que l'on a bâti, différents formats d'affichage sont prévus.

ï. Le format GNUPLOT

Comme son nom l'indique, il génère un fichier interprétable par le logiciel GNUPLOT. Sa structure est assez naturelle :

```
#Parapente au format GNUPLOT

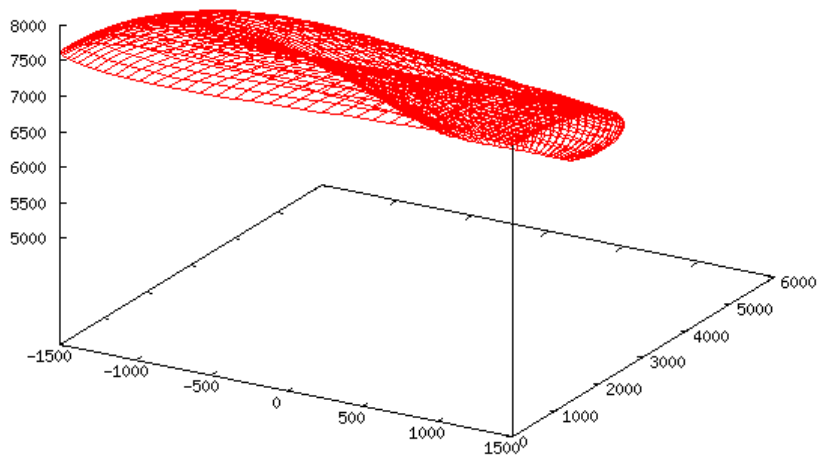
#Caracteristiques de la nervure
#-----
#Fichier de points 2D : milieu.lis
#Nb de points : 80
#Corde      : 3000
#Largeur   : 0
#DecalBA   : 0
#Vrillage  : 0
#Rayon     : 7500
#OuvEx     : 120
#OuvIn     : 360
#Points 3D de la nervure :
1500 0 7600.8
1494 0 7601.19
1482 0 7602.3
1458 0 7603.95
1428 0 7605.81
1386 0 7607.55
1338 0 7608.78
1278 0 7609.17
1215 0 7608.33
1140 0 7606.08
1062 0 7602.26
...
```

Ainsi, on rappelle les caractéristiques essentielles de chaque nervure puis on indique les coordonnées 3D des points constituant son contour.

Ces points sont listés en partant du BF, puis en suivant l'intrados pour atteindre le BA et pour finir en suivant l'extrados pour revenir au BF.

Pour chaque nervure, le BF est donc répété deux fois.

L'inconvénient majeur de cette interface est l'absence de possibilité de rotation de la figure obtenue.



Demi-parapente visualisé à l'aide de GNUPLOT

ii. Le format DXF

Ce format de sortie génère un fichier interprétable par AUTOCAD qui est un standard parmi les logiciels de CAO.

Le fichier est créé en faisant appel à GNUPLOT et en utilisant le terminal de sortie DXF.

On a donc besoin d'avoir en entrée un parapente au format GNUPLOT : si celui n'existe pas encore, on le crée automatiquement.

iii. Le format PLOTMTV

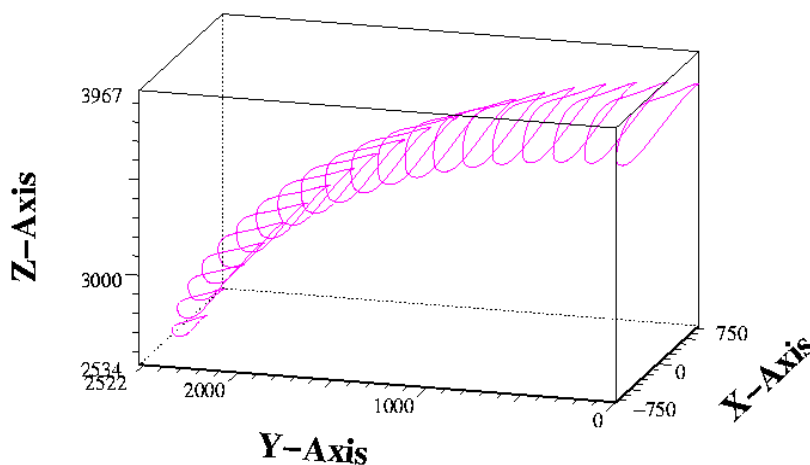
Il s'agit de créer un fichier interprétable par le viewer PLOTMTV développé par Kenny K.H Toh. Sa structure est analogue à celle d'un fichier au format GNUPLOT :

```
#Parapente au format PLOTMTV
$ DATA=CURVE3D
% axisscale=False

#Caracteristiques de la nervure
#-----
#Fichier de points 2D : milieu.lis
#Nb de points : 80
#Corde : 3000
#Largeur : 0
#DecalBA : 0
#Vrillage : 0
#Rayon : 7500
#OuvEx : 120
#OuvIn : 360
#Points 3D de la nervure :
1500 0 7600.8
1494 0 7601.19
1482 0 7602.3
1458 0 7603.95
1428 0 7605.81
1386 0 7607.55
...
```

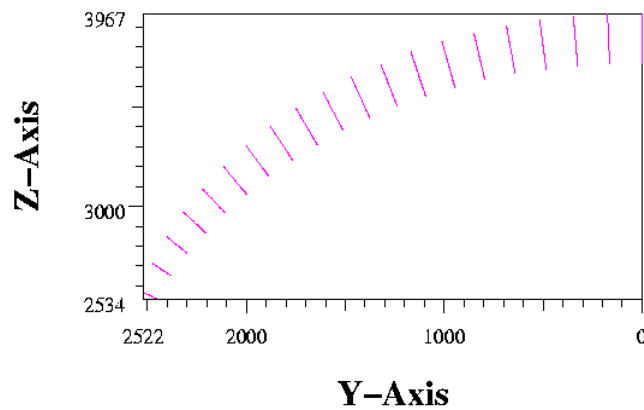
La seule différence réside dans l'en-tête du fichier où l'on indique que l'on fournit des données en 3D et que l'on souhaite avoir un repère orthonormé.

Cette interface présente l'énorme avantage de pouvoir faire tourner dans toutes les directions le graphe tracé. Cependant, on obtient une figure filaire et non pas un volume :



Vue de trois quart

On peut quand même voir l'influence du rayon utilisé pour le déploiement, c'est-à-dire le paramètre qui sert à arquer plus ou moins le parapente :



Vue de face

iv. Le format MATLAB

Ce format a été développé pour permettre l'affichage du parapente bâti grâce à l'interface graphique de MATLAB. Il permet de représenter de véritables volumes et de générer des fichiers au format VRML sans trop de complications.

Cette sortie présente cependant deux inconvénients : elle n'est utilisable que lorsqu'on travaille sous Windows et elle nécessite en plus un programme pour interpréter le fichier contenant le maillage du parapente.

Format d'un tel fichier :

```

20 81 0
469.43 4929.69 5084.01
467.569 4929.9 5084.15
463.855 4930.41 5084.47
456.416 4931.29 5085.02
447.112 4932.34 5085.68
434.067 4933.57 5086.46
419.142 4934.78 5087.22
400.461 4935.99 5087.98
380.819 4936.93 5088.57
357.408 4937.72 5089.06
...

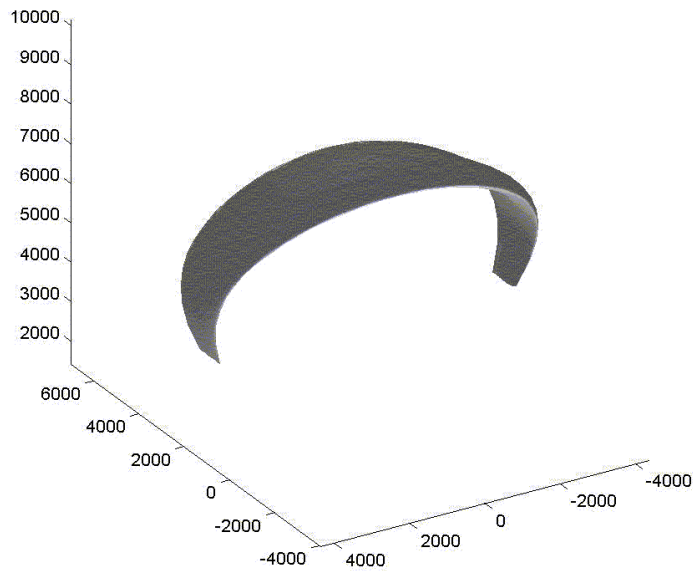
```

La première ligne indique le nombre de nervures formant le parapente ainsi que le nombre de points par nervure.

Suivent alors les coordonnées de tous les points du maillage en partant de l'extrémité de l'aile pour rejoindre la nervure centrale.

Ce format de fichier est interprété par le programme MATLAB nommé **afentier** qui génère automatiquement un fichier VRML.

Nous avons également créé, à titre d'exemple, un programme nommé **mtb2mtb_full** qui effectue la symétrie de la demi-aile, créant ainsi le parapente complet.



Parapente complet créé avec MATLAB

Lors de nos recherches sur le WEB, nous avons trouvé un applet Java permettant de visualiser des fichiers WAVEFRONT .obj mais aussi et surtout de les faire tourner facilement à la souris. De plus, le fait que ce soit un applet Java permet un transport vers des plates-formes autres que Linux.

Pour utiliser cet applet, nous avons créé un programme **mtb2obj_full** qui convertit un fichier au format MATLAB en un fichier au format Wavefront. Tout comme mtb2mtb_full, ce programme génère le parapente complet.

On décrit tout d'abord les sommets du maillage, dits « vertex » :

```
v 469.43 4929.69 5084.01
v 467.569 4929.9 5084.15
v 463.855 4930.41 5084.47
v 456.416 4931.29 5085.02
...
```

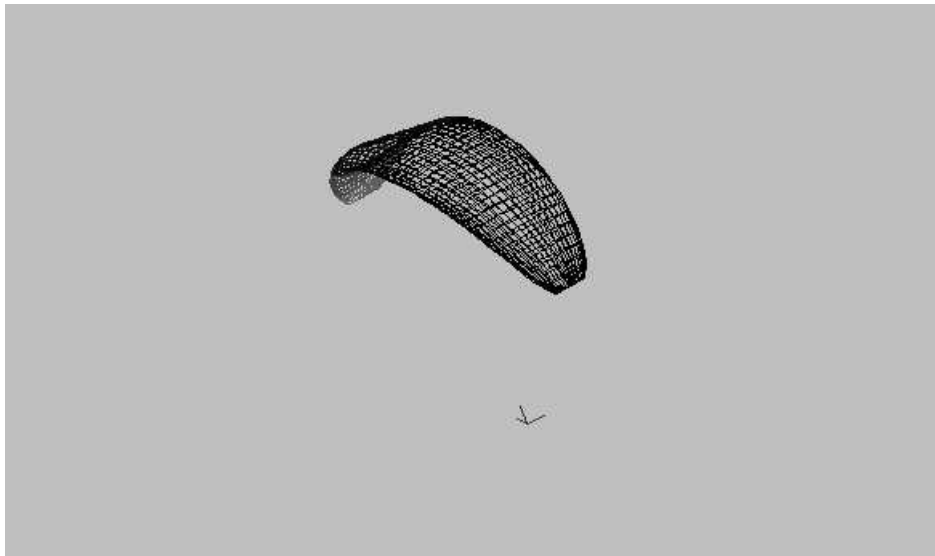
Dans la suite du fichier, la description des faces et des lignes se sert des numéros des vertex dans l'ordre où ils ont été énumérés.

On décrit ensuite les faces, c'est-à-dire les nervures :

```
f 1 2 3 4 5 6 7 8 9 10 11 12 13 14...
f 15 16 17 18...
...
```

Enfin les lignes intermédiaires :

```
l 21 102 183 264 345 426 507 588...
l 22 103 184 265 346 427 508 589...
...
```



Parapente complet visualisé avec l'applet

*Voir en annexe les syntaxes d'appel de **afentier**, **mtb2mtb_full** et **mtb2obj_full**.*

c. Les informations complémentaires

i. La sortie CELLULE

Cette sortie rassemble dans un fichier les informations calculées pour chaque cellule qui est l'espace délimité par deux nervures consécutives.

Pour fixer les idées, voici un extrait d'un tel fichier :

```
#Cellule 1
Corde (en m) = 2.9906
Largeur (en m) = 0.330807
Surface (en m^2) = 0.989168
Surface Mouillée (en m^2) = 2.05982
Volume (en dm^3) = 280.039
Rayon de bord d'attaque = 1.49231
Bord d'attaque = -1494.72 ; 499.431 ; 7590.4
Bord de fuite = 1495.83 ; 498.217 ; 7573.97
```

Sauf indication contraire, on considère dans ce qui suit la cellule formée par les nervures i et $i+1$. Pour cette cellule, on calcule les éléments caractéristiques suivants :

- **La corde**

Il s'agit de la corde moyenne de la cellule :

$$corde_cellule_ = \frac{corde_i + corde_{i+1}}{2}$$

- **La largeur**

Il s'agit de la largeur moyenne de la cellule obtenue en utilisant la largeur au niveau des BA et celle au niveau des BF :

$$largeur_cellule_ = \frac{d(BA_i, BA_{i+1}) + d(BF_i, BF_{i+1})}{2}$$

- **La surface**

Il s'agit de la surface à plat de la cellule, c'est-à-dire de la surface entre les cordes des nervures attenantes.

Elle est calculée en sommant la surface des deux triangles :

$$surface_cellule_ = surface(BA_i, BA_{i+1}, BF_i) + surface(BA_{i+1}, BF_{i+1}, BF_i)$$

- **La surface mouillée**

On appelle ainsi la surface extérieure de la cellule. Pour la calculer, on somme les surfaces des triangles formés par les points des contours des deux nervures :

$$surface_mouillée_ = \sum_{j=0}^{n-1} [surface(ner_i(j), ner_i(j+1), ner_{i+1}(j+1)) + surface(ner_i(j), ner_{i+1}(j), ner_{i+1}(j+1))]$$

- **Le volume**

Comme son nom l'indique, il s'agit du volume de la cellule.

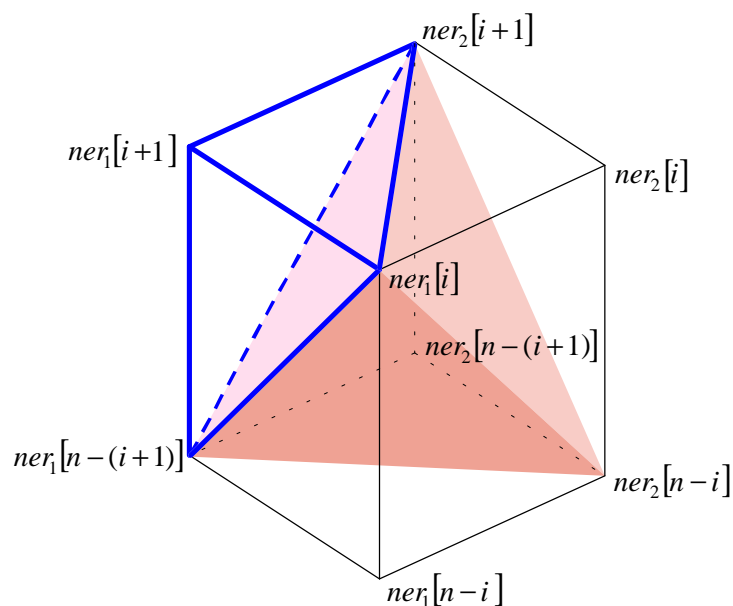
Pour ne pas alourdir les notations, on considère que les nervures définissant la cellule sont les nervures 1 et 2.

Pour calculer le volume de cette cellule, on la découpe en tranches définies par les points :

$$ner_1[i], ner_1[i+1], ner_1[n-(i+1)], ner_1[n-i], ner_2[i], ner_2[i+1], ner_2[n-(i+1)] \text{ et } ner_2[n-i].$$

Un tel découpage n'est possible que si l'on a le même nombre de points sur l'intrados que sur l'extrados.

Afin d'approcher au mieux le volume de chacune de ces tranches, on les découpe à leur tour en tétraèdres dont le volume est facilement calculable :



Comme on le voit sur la figure, on obtient 5 tétraèdres dont 4 ont le même volume :

- $ner_1[i], ner_1[i+1], ner_1[n-(i+1)], ner_2[i]$
- $ner_1[i], ner_2[i], ner_2[i+1], ner_2[n-i]$
- $ner_1[i], ner_1[n-i], ner_1[n-(i+1)], ner_2[n-i]$
- $ner_1[n-(i+1)], ner_2[i+1], ner_2[n-(i+1)], ner_2[n-i]$
- $ner_1[i], ner_1[n-(i+1)], ner_2[i+1], ner_2[n-i]$

▪ **Le bord d'attaque et le bord de fuite**

Il s'agit des coordonnées de BA et de BF moyens, en ce sens que :

$$BA = \frac{BA_i + BA_{i+1}}{2} \text{ et } BF = \frac{BF_i + BF_{i+1}}{2}$$

▪ **Le rayon du bord d'attaque**

Il correspond au rayon du cercle circonscrit au BA de la cellule et aux deux points qui l'entourent.

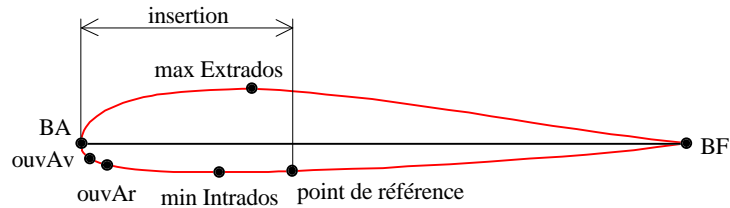
Pour le calculer, on fait appel à la méthode `Rayon_Cercle_Circonscrit` de la classe `Point3D`.

Remarque :

Pour faciliter la lecture des valeurs calculées, on donne les longueurs en mètres, les surfaces en m^2 et les volumes en dm^3 .

ii. La sortie POINT_R

On rappelle que pour chaque nervure, les points remarquables sont :



Les BA et BF de chaque nervure étant facilement identifiables dans les autres formats de sortie, on rassemble uniquement les coordonnées des ouvertures avant et arrière, des points haut et bas de la nervure ainsi que celles du point de référence dans le même fichier.

On ajoute également dans ce fichier le rayon du cercle circonscrit au point de référence de la nervure considérée et à ceux des deux nervures adjacentes.

L'intérêt d'un tel fichier est de pouvoir visualiser à l'aide de PLOTMTV les différents points remarquables. On peut également les superposer au tracé du parapente à proprement parler.

Un exemple est suffisant pour avoir une idée de la structure de ce fichier :

```
#Fichier des points remarquables au format PLOTMTV
$ DATA=CURVE3D
% axisscale=False
% dlinetype=0
#Ouverture_Avant
% linelabel='Ouvertures'
% mt=6 mc=7
-1380 0 7517.31
-1378.2 330.404 7515.09
...

#Ouverture_Arriere
% linelabel='Ouvertures'
% mt=6 mc=7
-1140 0 7453.8
-1138.74 327.58 7450.84
...

#Maximum_Extradados
% linelabel='Max Extradados'
% mt=4 mc=2
-783 0 7933.8
-780.424 348.579 7928.47
...

#Minimum_Intrados
% linelabel='Min Intrados'
% mt=4 mc=5
-882 0 7434.6
-881.132 326.696 7430.74
...

#Point_Reference
% linelabel='Pt référence'
% mt=12 mc=4
0 0 7500
0 329.422 7492.76
...

#Rayon_Courbure
# Nervure 0 7500
# Nervure 1 7386.35
...
```

Le fichier devant être interprétable par PLOTMTV, les lignes de l'en-tête indiquent que l'on fournit des données en 3D, que l'on désire avoir un repère orthonormé et que toutes les données qui suivent doivent être interprétées comme des points isolés et non pas comme des points appartenant à une même droite.

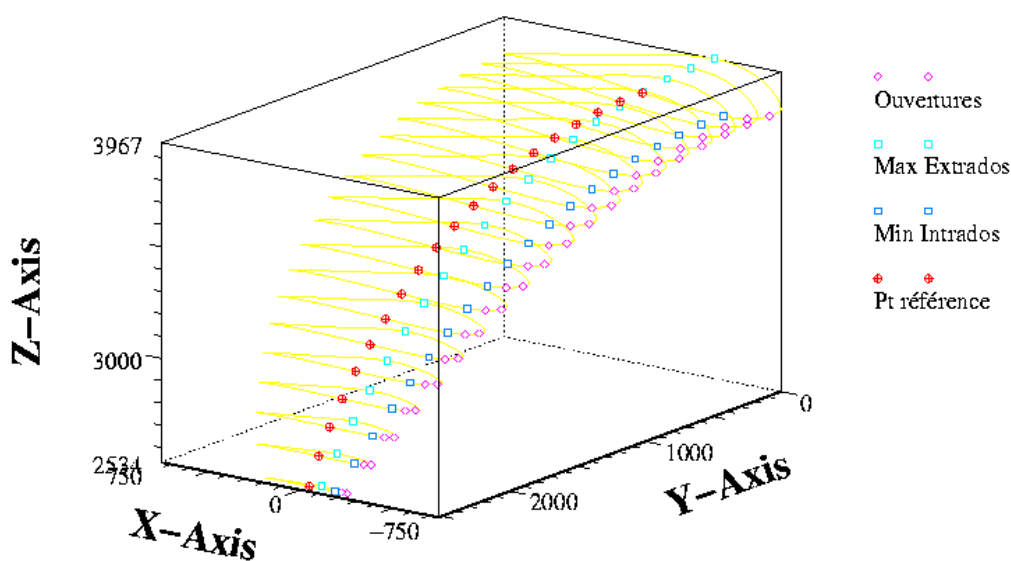
Suivent alors les coordonnées des points correspondant à toutes les ouvertures avant qui seront représentés par des marqueurs de type `mt` et de couleur `mc`.

Puis sur le même schéma on trouve les ouvertures arrière, les points haut et bas de la nervure et enfin les points de référence.

Pour finir, on indique en commentaires les rayons de courbure pour chaque nervure avec comme convention :

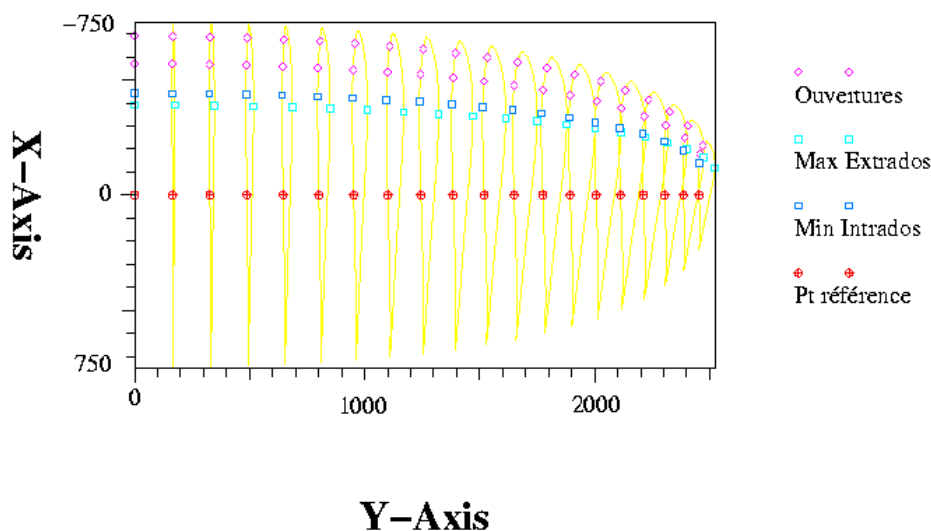
- 0 pour la dernière nervure
- -1 pour un rayon infini

Voici un exemple de visualisation dans PLOTMTV :



Demi-parapente avec ses points caractéristiques

Par ailleurs, PLOTMTV nous permet de vérifier que les points de référence sont alignés :



Vue de dessus d'un demi-parapente

iii. La sortie SUSPENTE

Cette sortie permet de rassembler dans un seul fichier les coordonnées des points d'ancrage et les longueurs des suspentes (distance du point d'ancrage au maillon) et ce pour chaque nervure.

Comme pour les points remarquables, le fichier obtenu est interprétable par PLOTMTV, ce qui permet de visualiser les points d'ancrage.

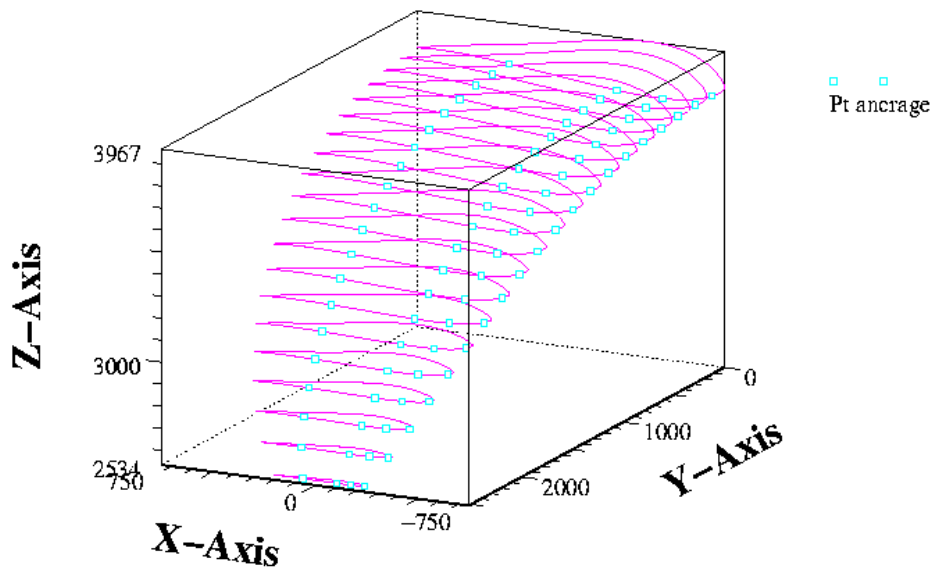
Structure du fichier :

```
#Fichier des suspentes au format PLOTMTV
$ DATA=CURVE3D
% axisscale=False
% dlinelabel='Pt ancrage'
% dlinetype=0 dmarkercolor=2 dmarkertype=4

#Nervure 0
#Points d'ancrage - Longueur des suspentes
-1380 0 7517.31
-900 0 7435.12
-450 0 7454.84
600 0 7564.12
#7645.54 7492.07 7471.09 7590.52

#Nervure 1
#Points d'ancrage - Longueur des suspentes
-1378.2 330.404 7515.09
-899.107 326.722 7431.33
...
```

On obtient à l'aide de PLOTMTV des représentations similaires à :



Demi-parapente et points d'ancrage des suspentes

4. La syntaxe d'appel

La syntaxe générale d'appel du programme Infierno est de la forme :

```
Infierno -i fic_in [-e fic_ent] [-f format] [-d] [-m info]
```

Détail des options :

- i** Fichier d'entrée au format généré par le programme Corde.
Cette option est indispensable et indique à Infierno la description détaillée du parapente.
- e** Fichier en-tête.
On utilise cette option si l'on ne possède qu'une description sommaire du parapente.
Infierno fait alors appel à Corde pour générer une description détaillée qui est stockée dans le fichier indiqué après la balise `-i`. L'utilisateur doit cependant indiquer pour chaque nervure le profil utilisé.
- f** Format de sortie désiré.
Le champ `format` peut prendre les valeurs suivantes :
GNUPLOT, PLOTMTV, LIBRE, CMARC, DXF et MATLAB
chacun de ces formats ayant été détaillé précédemment.
Remarque : le format par défaut est CMARC.
- d** Affichage automatique au format demandé.
Cette option permet l'affichage automatique du parapente uniquement dans GNUPLOT ou PLOTMTV.
Elle permet également de visualiser automatiquement les points remarquables et les points d'ancrage des suspentes si ces sorties sont demandées.
- m** Informations complémentaires.
Le champ `info` peut prendre les valeurs suivantes :
POINT_R, SUSPENDE et CELLULE
On peut se reporter à la partie précédente pour une présentation détaillée de ces sorties.
Remarque : si l'option `-d` est activée, les points remarquables et les points d'ancrage des suspentes sont visualisés dans PLOTMTV.
De plus, si l'utilisateur a aussi demandé une sortie au format PLOTMTV pour le parapente, alors on superpose les informations complémentaires au tracé du parapente.

En cas de problèmes, une aide est proposée par la commande : **Infierno -h**

Par ailleurs, les extensions des fichiers générés pour toutes ces sorties sont indiquées dans le fichier `constantes.h`.

Ainsi, les extensions actuelles sont :

Formats	Extensions
CMARC	.cmi
GNUPLOT	.gnu
DXF	.dxf
LIBRE	.fre
MATLAB	.mtb
PLOTMTV	.mtv

Informations	Extensions
CELLULE	.cmi
POINT_R	.gnu
SUSPENDE	.lib

IV. UTILISATIONS POSSIBLES AVEC CMARC ET HIPPOLYTE

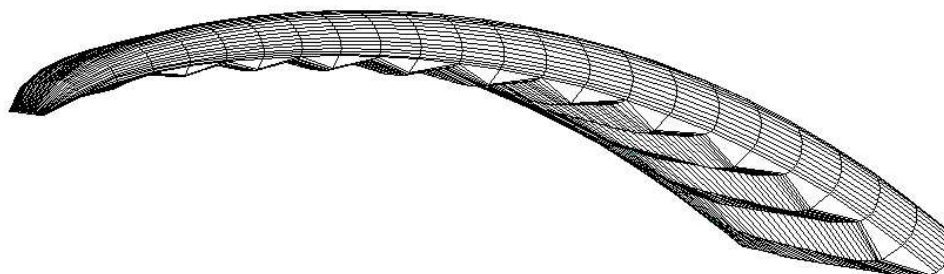
La soufflerie numérique CMARC génère à partir d'un fichier .cmi, des fichiers .cm0, .out et .fmt contenant les résultats des essais dans la soufflerie numérique.

En visitant le site des concepteurs de CMARC, nous avons découvert que ceux-ci proposent POSTMARC, un post-processeur de cette soufflerie, permettant de visualiser le maillage de l'objet soufflé ainsi que les pressions qui s'exercent sur celui-ci.

Sans conviction, nous avons alors pris l'initiative d'envoyer quelques parapentes au format .cmi aux USA. Le charme pyrénéen a agi et de superbes vues nous ont été renvoyées, accompagnées de quelques mots sympathiques sur les Pyrénées. Cela nous a permis de vérifier la validité des fichiers .cmi construits.

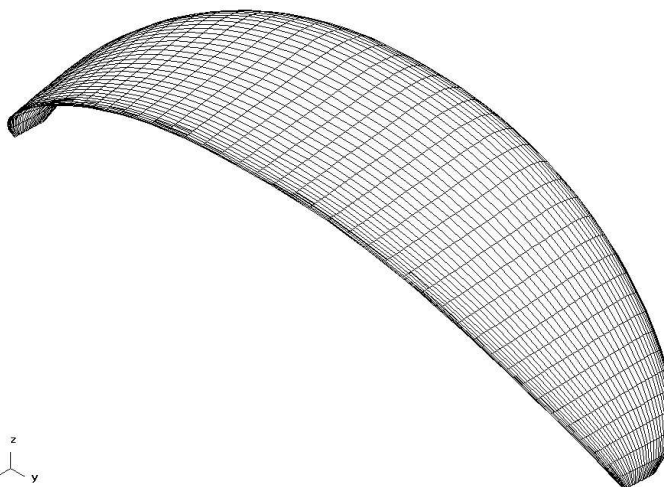
Voici donc ces *e*-résultats pour les prototypes Metpat et Kenya50.

- **Le prototype Metpat :**



Le maillage de la demi-aile

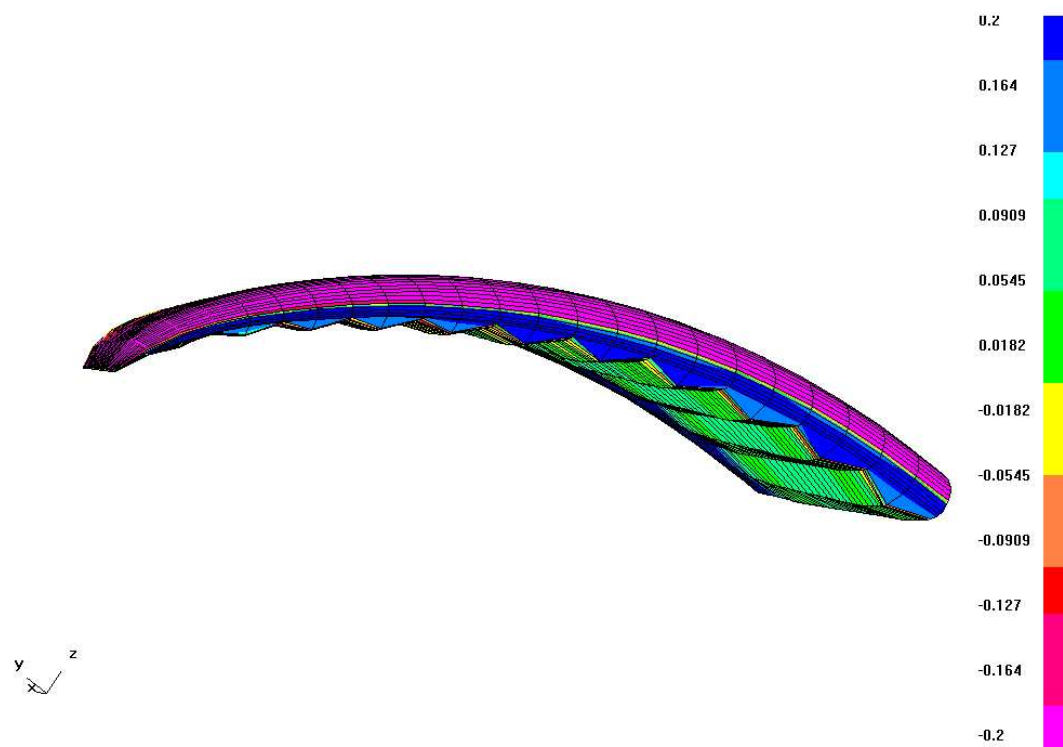
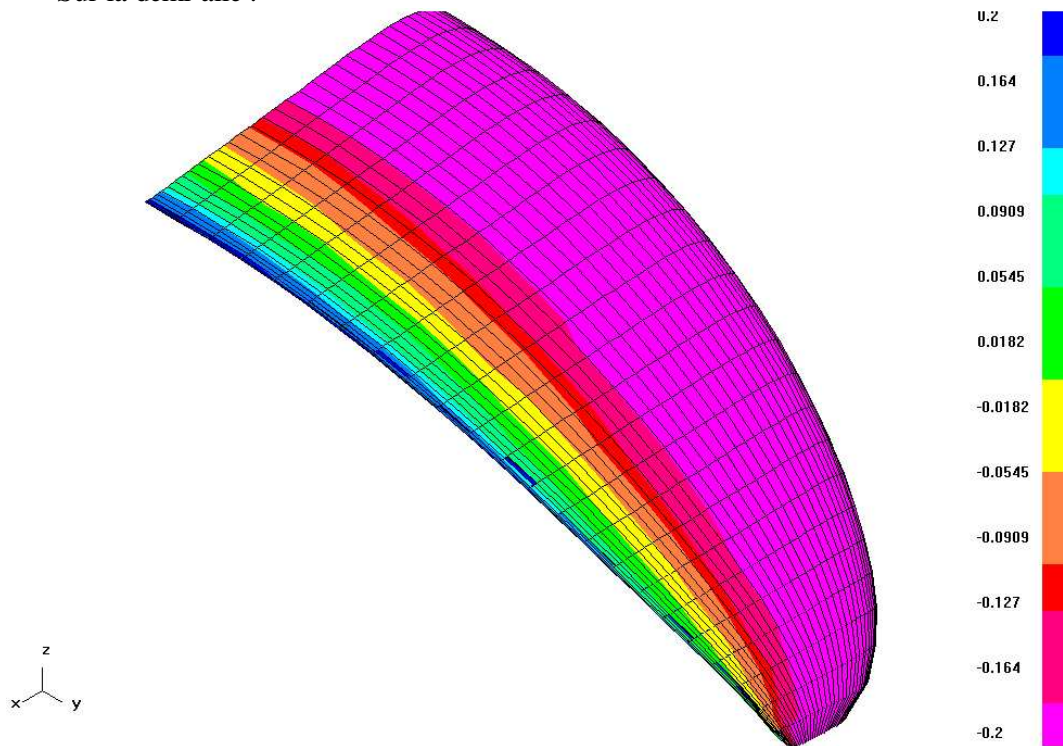
POSTMARC permet de symétriser le maillage :



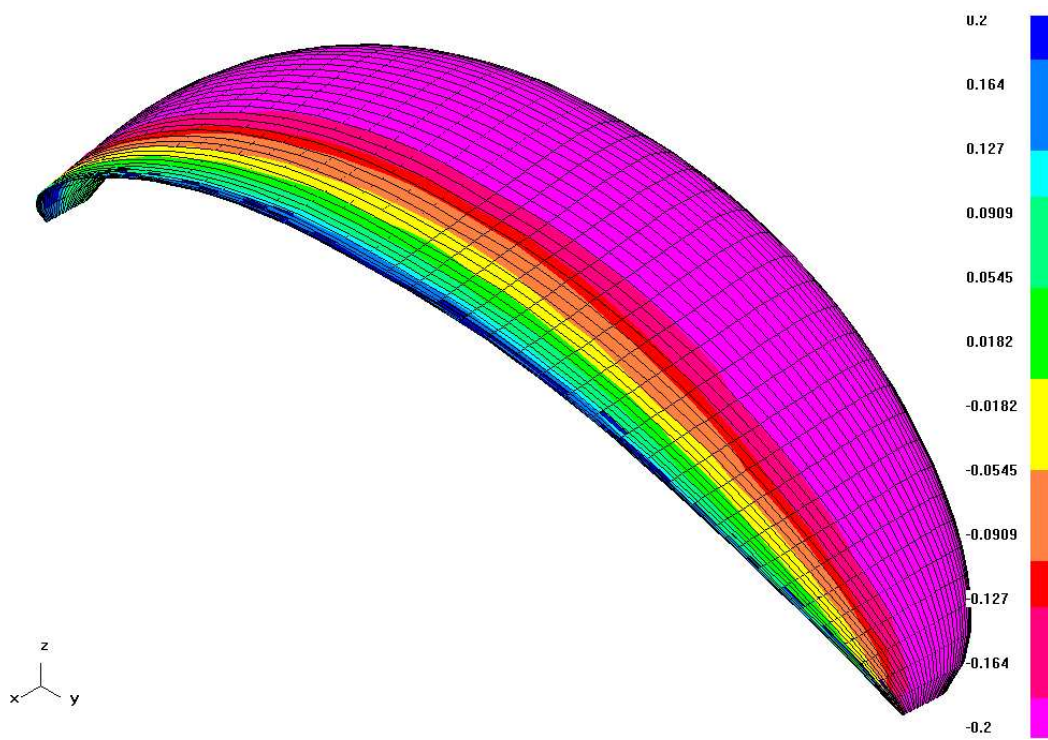
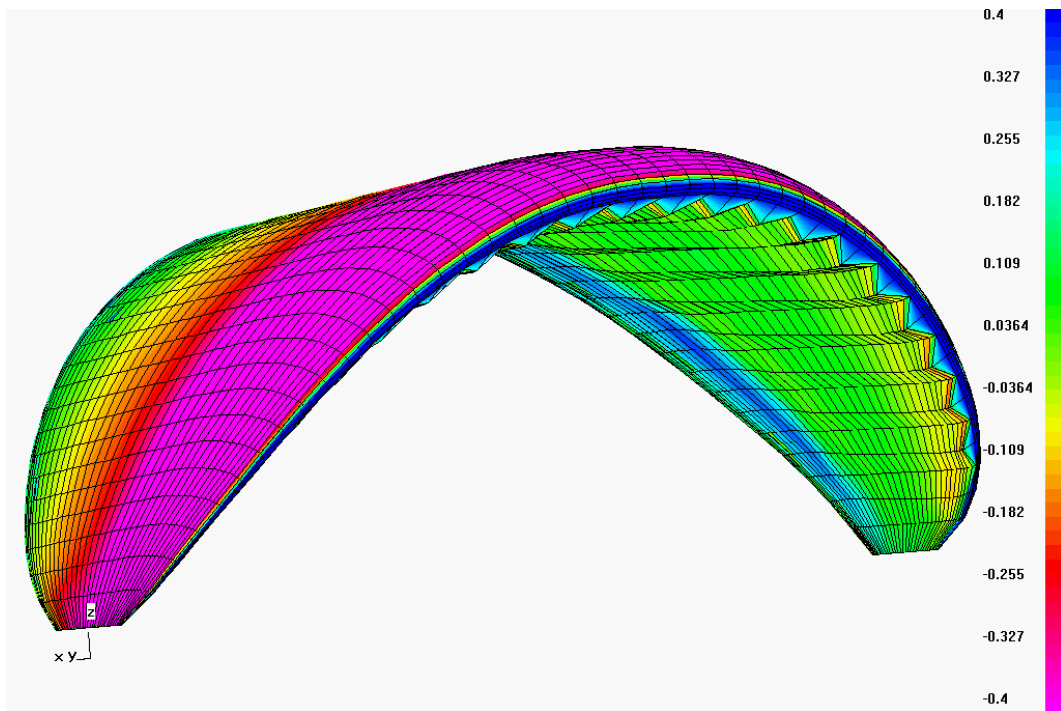
Maillage de l'aile complète

Mais, il permet également de visualiser les champs de pression.

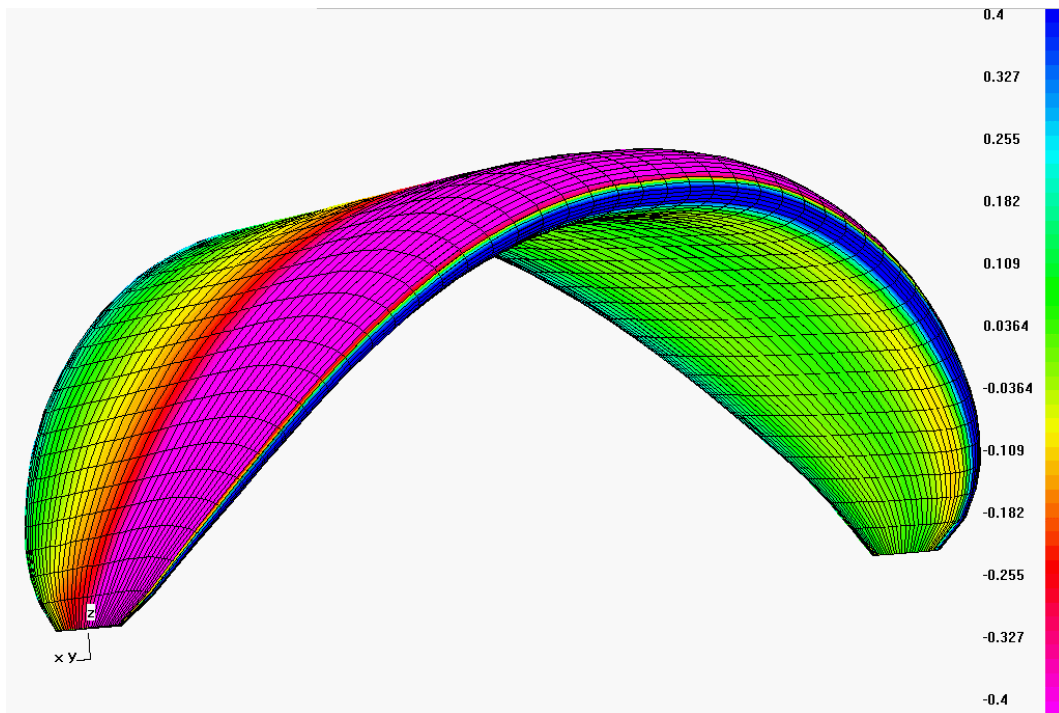
Sur la demi-aile :



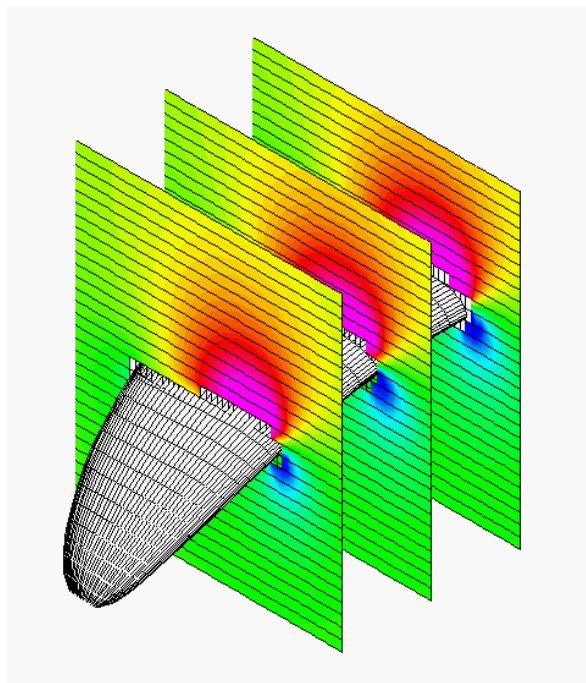
Sur l'aile complète :



- Le prototype Kenya50 :



POSTMARC propose également de visualiser les champs de pression selon divers plans de coupe :



V. CONCLUSION

La chaîne Corde - Infierno permet donc, à partir d'un profil et d'une description sommaire de l'objet final, de générer le maillage de l'objet complet.

Le but était ici le maillage d'un parapente, mais les concepts utilisés resteraient valables pour d'autres structures utilisant un profil simple telles qu'un Kayak ou un dirigeable Zeppelin par exemple.

D'un point de vue personnel, ce projet nous a permis de mesurer la difficulté de s'insérer dans une chaîne de production déjà en place. Nous avons dû nous adapter aux contraintes des divers formats de fichier, aux objets déjà développés en Pascal...

Ce projet nous a également fait découvrir le travail en équipe et surtout le télétravail : nous étions deux étudiants à développer Corde et Infierno, mais nous n'avions que très rarement l'occasion de nous rencontrer. La magie d'Internet aidant, nous avons pu mettre chaque jour nos travaux en commun.

Nous avons aussi été amenés à rechercher et à utiliser des outils de développements adaptés comme XDIFF pour la gestion des versions, PLOTMTV pour un affichage plus agréable ainsi que DOXYGEN et A2PS pour la documentation.

Enfin, le choix de la plate-forme Linux nous a permis de découvrir la gestion de ce système et de nous perfectionner dans cet environnement plein d'avenir.

Conscients de l'utilité du projet global pour l'industrie du vol libre, il ne nous reste plus qu'à lui souhaiter « bon vent » ...

ANNEXES

a. Le programme de visualisation MATLAB

Afentier permet de visualiser un parapente sous MATLAB et de générer un fichier VRML

```
% Le fichier d'entrée provient de la sortie MATLAB d'Infierno :
%   il contient un demi-parapente.
%
% Structure du fichier
% ligne 1 :      nombre de nervures de la demi-aile, nombre de points par nervure, 0
% ligne 2 à fin : les nervures en 3D stockées sous forme de coordonnées x y z
%                en partant de l'extrémité de la demi-aile jusqu'à la nervure centrale
%                et en énumérant les points dans l'ordre BF->intrados->BA->extrados->BF
%
% En sortie, on obtient :
%   * la représentation du parapente complet
%   * le fichier correspondant au format VRML

function afentier(nom)

clf % On efface les figures

% On stocke dans une matrice tous les points du maillage
fid=fopen(nom,'r');
a=fscanf(fid,'%f %f %f',[3 inf]);
fclose(fid);
a=a';

% On récupère le nombre de nervures et le nombre de points par nervure
nn=floor(a(1,1));
npn=floor(a(1,2));
n=nn*npn;
a(1,:)=[];

% On isole x, y et z
x=a(:,1);
y=a(:,2);
z=a(:,3);
clear a;

% On ajoute le symétrique
for i=0:nn-1
    x(n+1+i*npn:n+(i+1)*npn)=x(n+1-(i+1)*npn:n-i*npn);
    y(n+1+i*npn:n+(i+1)*npn)=-y(n+1-(i+1)*npn:n-i*npn);
    z(n+1+i*npn:n+(i+1)*npn)=z(n+1-(i+1)*npn:n-i*npn);
end

% Désormais on a le double de nervures
nn=nn*2;
n=nn*npn;

% On va créer deux matrices :
%   * l'une contenant les coordonnées des points de l'intrados
%   * l'autre ceux de l'extrados
% ce qui permet de tracer ensuite l'intrados et/ou l'extrados

% On isole les points de l'intrados
for i=0:nn-1
    xi(1+i*((npn-1)/2+1):(i+1)*((npn-1)/2+1))=x(1+i*npn:(npn-1)/2+1+i*npn);
    yi(1+i*((npn-1)/2+1):(i+1)*((npn-1)/2+1))=y(1+i*npn:(npn-1)/2+1+i*npn);
    zi(1+i*((npn-1)/2+1):(i+1)*((npn-1)/2+1))=z(1+i*npn:(npn-1)/2+1+i*npn);
end;
% On fait une matrice de xi yi et zi
for i=0:(nn-1)
    for j=1:((npn-1)/2+1)
```

```

        xxi(i+1,j)=xi(i*((npn-1)/2+1)+j);
        yyi(i+1,j)=yi(i*((npn-1)/2+1)+j);
        zzi(i+1,j)=zi(i*((npn-1)/2+1)+j);
    end
end
clear xi;
clear yi;
clear zi;

% On isole les points de l'extrados
for i=0:nn-1
    xe(1+i*((npn-1)/2+1):(i+1)*((npn-1)/2+1))=x((npn-1)/2+1+i*nn:(i+1)*nn);
    ye(1+i*((npn-1)/2+1):(i+1)*((npn-1)/2+1))=y((npn-1)/2+1+i*nn:(i+1)*nn);
    ze(1+i*((npn-1)/2+1):(i+1)*((npn-1)/2+1))=z((npn-1)/2+1+i*nn:(i+1)*nn);
end;
% On fait une matrice de xe ye et ze
for i=0:(nn-1)
    for j=1:((npn-1)/2+1)
        xxe(i+1,j)=xe(i*((npn-1)/2+1)+j);
        yye(i+1,j)=ye(i*((npn-1)/2+1)+j);
        zze(i+1,j)=ze(i*((npn-1)/2+1)+j);
    end
end
clear xe;
clear ye;
clear ze;

% Tracé du parapente à proprement parler et génération du fichier au format VRML
figure(1)
hold on
axis equal
surf1(xxi,yyi,zzi)
surf1(xxe,yye,zze)
colormap gray
shading interp

% Détermination du nom du fichier au format VRML
i=0;
while nom(i+1)~='.'
    i=i+1;
end
nom=[nom(1:i),'.wrl']

vrml(figure(1),nom)

```

b. Syntaxe d'appel de mtb2obj_full

Deux syntaxes d'appel sont possibles :

```

        mtb2obj_full
        mtb2obj_full [fic_in]

```

Le premier appel, demande le nom du fichier à convertir alors que le deuxième appel prend ce nom en paramètre. Le fichier converti est alors systématiquement appelé parapente.obj.

Dans les deux appels, le navigateur Netscape est lancé automatiquement pour visualiser, à l'aide de l'applet, le parapente complet.

BIBLIOGRAPHIE ET SITES WEB

Concernant le parapente :

- *La folle histoire du parapente*, Xavier Murillo
- *Volez en parapente*, Gérald Delorme
- *Modélisation d'un parapente*, Jérôme Sarthe, rapport de stage de DESS - Université de Savoie 1999
- Manuel du parapente sur le site de la Fédération Française de Parachute :
<http://www.sxb.rte.fr/FFP-manuel/>
- Site de la Fédération Française de Vol Libre :
http://www.ffvl.fr/Vol_Libre/Historique/historique.html
- Article concernant la simulation numérique sur le site de P. Puiseux :
<http://www.univ-pau.fr/~puiseux/simulation/article/article.htm>

Concernant la programmation et les logiciels :

- *Langage C manuel de référence*, S.P. Harbison & G.L Steele JR
- *Le langage C ANSI*, B.W Kernighan & D.M. Richie
- *Borland Pascal 7*, Scott D. Palmer
- PLOTMTV
- Home page de GNUPLOT : <http://www.gnuplot.org/>
- Home page de DOXYGEN : <http://www.stack.nl/~dimitri/doxygen/>
- A2PS
- Home page de Aerologic, concepteur de CMARC : <http://www.aerologic.com/index.html>



Los picos del Infierno e los dos ibones inferiores de Pezico